

第一章 文献翻译&个人理解

15

极大极小下界

在短暂的讨论信息论偏移之后，让我们回到 **k-armed** 随机赌博机上。在下面的内容中，我们规定范围 $n>0$ 和动作次数 $k>1$ 。本章有两个组成部分。首先是针对固定策略和不同的赌博机，精确计算典型赌博机模型中措施之间的相对熵。在第二部分中，我们证明了一个极大极小下界，将第 13 章给出的直觉论点形式化。

个人注：本章主要讨论决策理论问题中极大极小风险的下界。这种界限对于评估决策规则的质量很有用。

15.1 赌博机之间的相对熵

下面的结果将被反复使用，练习题中提供了一些概括。

引理 15.1：散度分解

令 $v=(P_1,\cdots P_k)$ 为一个 **k-armed** 赌博机相关的奖励分布，令 $v'=(P'_1,\cdots P'_k)$ 为另一个 **k-armed** 赌博机相关的奖励分布。固定一些政策 π ，同时令 $\mathbb{P}_v=\mathbb{P}_{v,\pi}$ 和 $\mathbb{P}_{v'}=\mathbb{P}_{v',\pi}$ 为由 π 和 v （ π 和 v' ）的 n 轮相互联络所得到的正则赌博机模型（4.6 节）的概率测度。因此有：

$$D(\mathbb{P}_v,\mathbb{P}_{v'})=\sum_{i=1}^k\mathbb{E}_v[T_i(n)]D(P_i,P'_i)$$

证明：

假设对于所有 $i\in[k]$ 都有 $D(P_i,P'_i)<\infty$ 。由此可见 $P_i<<P'_i$ 。定义 $\lambda=\sum_{i=1}^kP_i+P'_i$ ，

$\lambda(A)=\sum_{i=1}^k(P_i(A)+P'_i(A))$ 为任意可测集 A 定义的度量，定理 14.1 表明，只要

$(\frac{d\mathbb{P}_v}{d\mathbb{P}_{v'}})<+\infty$ ，则有：

$$D(\mathbb{P}_v,\mathbb{P}_{v'})=\sum_{i=1}^k\mathbb{E}_v[\log(\frac{d\mathbb{P}_v}{d\mathbb{P}_{v'}})]$$

回顾 ρ 是 $[k]$ 上的计数测度，我们发现 \mathbb{P}_v 关于乘积测度 $(\rho\times\lambda)^n$ 的 Radon-Nikodym 导数在式（4.7）中给出：

$$p_{v\pi}(a_1,x_1,\ldots,a_n,x_n)=\prod_{i=1}^n\pi_i(a_i\mid a_1,x_1,\ldots,a_{i-1},x_{i-1})p_{a_i}(x_i)$$

除了 p_{a_i} 被 p'_{a_i} 取代外， \mathbb{P}_v 的密度相同，则有：

式右边主导的边缘下界：

$$\log\frac{d\mathbb{P}_v}{d\mathbb{P}_{v'}}(a_1,x_1,\cdots,a_n,x_n)=\sum_{t=1}^n\log\frac{p_{a_t}(x_t)}{p'_{a_t}(x_t)}\geq\frac{n}{27}\sqrt{\frac{1}{(k-1)n}}\frac{p_{a_t}(x_t)}{p'_{a_t}(x_t)}$$

甚明的我想使用了Radon-Nikodym 衍生品的链规则和涉及策略的条款取消的事实。取双方的期

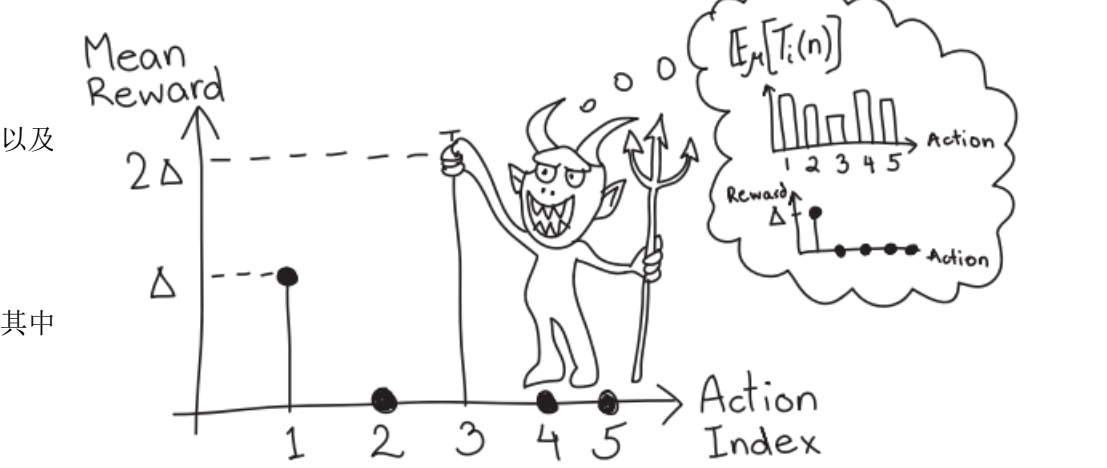


图 15.1 极大极小下界的概率 $D(P_A,P'_A)=\sum_{i=1}^n\mathbb{E}_v[T_i(n)]D(P_A,P'_A)$ 如果有一个政策 π 在一个环境中选择一个动作，使政策在至少一个环境中遭受巨大的偏差遗憾

$$=\sum_{i=1}^k\mathbb{E}_v[T_i(n)]D(P_{A_i},P'_{A_i})$$

证明：当（15.1）式的右边是无穷大时，由我们前面的计算不难看出，左边也是无穷大的。固定策略 π ，令 $\Delta\in[0,1/2]$ 是稍后选择的常数。根据第 13 章中的建议，我们从单位方我们注意到，无论动作集是否离散，发散分解都成立。在更一般的形式下，有关行动的总和必须用适当的非负措施的积分来代替，该积分概括了预期的臂拔出数量。详情见练习 15.8。

个人注：相对熵（relative entropy）又称为 KL 散度（Kullback–Leibler divergence，简称分布 \mathbb{P} 和赌博机模型 (H,P) 。为了简洁起见，我们将使用 \mathbb{P} 来代替 \mathbb{P}_v 。同时， \mathbb{P} 表示 \mathbb{P}_v 的信息散度（information divergence），信息增益（information gain）。KL 散度是两个概率分布 P 和 Q 差别的非对称性的度量。KL 散度是用来 度量使用基于 Q 的编码来编码来自 P 的样本平均所需的额外的位元数。典型情况下，P 表示数据的真实分布，Q 表示数据的理论分布，模型分布，或 P 的近似分布。简单来说，相对熵用来衡量两个取值为正的函数或概率分布之间的差异

15.2 极大极小下界 n ，并且 $\mathbb{E}_\mu[T_i(n)]\leq n/(k-1)$ 。第二个高斯赌博机也是单位方差

且均值为 $\mathcal{E}_N^k(1)$ 是具有单位方差的高斯赌博机类，可以通过它们的平均向量进行参数化 $\mu'=(\Delta,0,0,\ldots,0,2\Delta,0,\ldots,0)$ $\mu\in\mathbb{R}^k$ ，令 $\mu\in\mathbb{R}^k$ ， v_μ 为第 i 个有奖励分布为 $N(\mu_i,1)$ 的高斯赌博机。其中 $\mu'_i=2\Delta$ 。因此 $\mu_j=\mu'_j$ ，除了指数 i 和 v_μ 是第一个臂，而在 v_μ 中，臂 i 是最佳的。我们引理 15.2：

缩写 $\mathbb{R}_k>\mathbb{P}_{v,\pi}$ 且 $n\geq k$ 将引理 4.6 应用于任意策略 π ，得到一个平均向量 $\mu\in[0,1]^k$ ，使得：

$$R_n(\pi,v_\mu)\geq\mathbb{P}_\mu(T_1(n)\leq n/2)\frac{n\Delta}{2}\text{ and } \frac{1}{27}\sqrt{\frac{1}{(k-1)n}}\frac{p_{a_t}(x_t)}{p'_{a_t}(x_t)}>\mathbb{P}_\mu(T_1(n)>n/2)\frac{n\Delta}{2}$$

然后，应用前一章中的 Bretagnolle–Huber 不等式（定理 14.2）， $\mathcal{E}_N^k(1)$ 的极小边界当由上述等从而 $v_\mu\in\mathcal{E}_N^k(1)$ ，因此，当 $n\geq k-1$ 时，极大极小边界 $\mathcal{E}_N^k(1)$ 的极小边界当由上述等

$$R_n(\pi,v_\mu)+R_n(\pi,v_{\mu'})>\frac{n\Delta}{2}\Big(\mathbb{P}_\mu(T_1(n)\leq n/2)+\mathbb{P}_{\mu'}(T_1(n)>n/2)\Big)\\ \geq\frac{n\Delta}{4}\exp\Big(-D\Big(\mathbb{P}_\mu,\mathbb{P}_{\mu'}\Big)\Big)$$

它保持在上限 $D(\mathbb{P}_\mu,\mathbb{P}_{\mu'})$ 。为此，我们使用引理 15.1 和 μ,μ' 获得

$$D(\mathbb{P}_\mu,\mathbb{P}_{\mu'})=\mathbb{E}_\mu[T_i(n)]D(\mathcal{N}(0,1),\mathcal{N}(2\Delta,1))=\mathbb{E}_\mu[T_i(n)]\frac{(2\Delta)^2}{2}\leq\frac{2n\Delta^2}{k-1}$$

将此插入之前的显示，我们发现

$$R_n(\pi,v_\mu)+R_n(\pi,v_{\mu'})\geq\frac{n\Delta}{4}\exp\Big(-\frac{2n\Delta^2}{k-1}\Big)$$

通过选择 $\Delta=\sqrt{(k-1)/4n}\leq 1/2$ ，其中不等式遵循定理陈述中的假设。最后一步是下

限 $\exp(-1/2)$ 和 $2\max(a,b)\geq a+b$ 。

我们鼓励读者阅读练习 15.2 中概述的替代证明，其中采取了稍微不同的路径。

15.3 注记

1、我们使用高斯噪声模型，因为 KL 发散度在这种情况下很容易计算但我们实际使用的是 $D(P_i,P'_i)=O\Big((\mu_i-\mu'_i)^2\Big)$ ，当平均值之间的差距 $\Delta=\mu_i-\mu'_i$ 很小。虽然并非所有情

况都是这样，但通常情况下确实如此。为什么呢？令 $\{P_\mu:\mu\in\mathbb{R}\}$ 是 Ω 上的一些参数分布族，

并假设分布 p_μ 具有平均 μ 。假设密度是两次可微的，并且所有的都是积分和导数可以交换（几乎总是这样），我们可以用一个关于 μ 的泰勒展开式来表示

$$\begin{aligned} \mathbf{D}\big(P_{\mu},P_{\mu+\Delta}\big)&\approx \frac{\partial}{\partial \Delta}\mathbf{D}\big(P_{\mu},P_{\mu+\Delta}\big)\bigg|_{\Delta=0} \Delta+\frac{1}{2}\frac{\partial^2}{\partial \Delta^2}\mathbf{D}\big(P_{\mu},P_{\mu+\Delta}\big)\bigg|_{\Delta=0} \Delta^2 \\ &= \frac{\partial}{\partial \Delta}\int_{\Omega}\log\bigg(\frac{dP_{\mu}}{dP_{\mu+\Delta}}\bigg)dP_{\mu}\bigg|_{\Delta=0} \Delta+\frac{1}{2}I(\mu)\Delta^2 \\ &= -\int_{\Omega}\frac{\partial}{\partial \Delta}\log\bigg(\frac{dP_{\mu+\Delta}}{dP_{\mu}}\bigg)\bigg|_{\Delta=0} dP_{\mu}\Delta+\frac{1}{2}I(\mu)\Delta^2 \\ &= -\int_{\Omega}\frac{\partial}{\partial \Delta}\frac{dP_{\mu+\Delta}}{dP_{\mu}}\bigg|_{\Delta=0} dP_{\mu}\Delta+\frac{1}{2}I(\mu)\Delta^2 \\ &= -\frac{\partial}{\partial \Delta}\int_{\Omega}\frac{dP_{\mu+\Delta}}{dP_{\mu}}dP_{\mu}\bigg|_{\Delta=0} \Delta+\frac{1}{2}I(\mu)\Delta^2 \\ &= -\frac{\partial}{\partial \Delta}\int_{\Omega}dP_{\mu+\Delta}\bigg|_{\Delta=0} \Delta+\frac{1}{2}I(\mu)\Delta^2 \\ &= \frac{1}{2}I(\mu)\Delta^2 \end{aligned}$$

其中，第二行中引入的 $I_{(\mu)}$ 称为族的 Fisher 信息 $P(\mu)_{\mu}$ 在。注意，如果 λ 是 $\Delta small$ 的 $(P_{\mu+\Delta})$ 的常用主要度量，则 $dP_{\mu+\Delta}=p_{\mu+\Delta}d\lambda$ 我们可以写

$$I(\mu)=-\int\frac{\partial^2}{\partial \Delta^2}\log p_{\mu+\Delta}\bigg|_{\Delta=0} p_{\mu}d\lambda$$

这是小学课文中通常给出的形式。这一切的结果是 $\mathbf{D}(P_{\mu},P_{\mu+\Delta})$ ，因为 $\Delta small$ 实际上是 Δ 的二次方，通过提供的缩放 $I_{(\mu)}$ ，因此，最糟糕的遗憾总是 $O\sqrt{nk}$ ，提供所考虑的分配类别足够充分，也不太奇怪。

- 我们现在已经显示了一个下限 $O\sqrt{nk}$ ，虽然许多上限是 $O\sqrt{\log(n)}$ 。这并不矛盾，因为对数界限取决于次优间隙的倒数，次优间隙可能非常大。
- 我们的下限仅为 $n\geq k-1$ 。在练习 15.3 中，我们要求您理解当 $n<k-1$ 时，有一个赌博机

$$R_n\geq \frac{n(2k-n-1)}{2k}>\frac{n}{2}$$

- 用于证明定理 15.2 的方法可以看作是对统计中的 Le Cam 方法。回想一下，等式 (15.2) 对于任意 μ 和 μ'

$$\inf_{\pi}\sup_v R_n(\pi,v)\geq \frac{n\Delta}{8}\exp\Big(-\mathbf{D}\Big(\mathbb{P}_{\mu},\mathbb{P}_{\mu'}\Big)\Big)$$

为了解释 Le Cam 的方法，我们需要一点符号。令 \mathcal{X} 为结果空间， \mathcal{P} 为 \mathcal{X} 上的一系列

措施， $\theta\colon\mathcal{P}\rightarrow\Theta$ ，其中 $R(P_0)$ 是 $\frac{\Delta}{2}\big(P_0(P_{\mu})+P_1(P_{\mu})\big)$ 的常用主要度量， $R(P_1)$ 是 $\frac{\Delta}{4}\exp\Big(-\mathbf{D}\big(\hat{P}_0,P_1\big)\Big)\rightarrow\Theta$ 。Le-Cam

方法用于证明期望误差的极大极小下界估计量结果如下，因为 $\max\{a,b\}\geq (a+b)/2$

$$\inf_{P\in\mathcal{P}}\sup_{X_1,\ldots,X_n\sim P^n}\mathbb{E}\left[d\Big(\hat{\theta}\big(X_1,\ldots,X_n\big),\theta(P)\Big)\right]$$

这个方法是用来选择 $P_0,P_1\in\mathcal{P}$ 去最大化 $d\big(\theta(P_0),\theta(P_1)\big)\exp\big(-n\mathbf{D}\big(P_0,P_1\big)\big)$ ，在任意 $P_0,P_1\in\mathcal{P}$ 的基础上

$$Eq.(15.3)\geq \frac{\Delta}{8}\exp\big(-n\mathbf{D}\big(P_0,P_1\big)\big)$$

式中， $\Delta=d\big(\theta(P_0),\theta(P_1)\big)$ 。与赌博机下限相比，有两个区别：（1）我们处理顺序设置：

- 选择 P_0 后，我们选择 P_1 的方式取决于关于算法。这提供了一个非常需要的额外提升，如果没有它，该方法将是无法捕捉 \mathcal{P} 的特征如何反映在极大极小风险中（或遗憾，在我们的案例）

15.4 文献综述

我们知道的第一个关于下界的工作是 Vogel [1960]对双臂伯努利赌博机的非常精确的极大极小分析。Bubeck 等人[2013b]首次将 Bretagnolle–Huber 不等式（定理 14.2）用于赌博机。正如注记中所述，利用这个不等式证明下界，在统计学中被称为 Le Cam 方法[Le Cam, 1973]。定理 15.2 的证明采用了与 Gerchinovitz 和 Lattimore [2016]相同的思路，而练习题 15.2 中的另一种证明本质上是由 Auer 等人[1995]提出的，他们分析了奖励是伯努利的更困难的情况（见练习题 15.4）。Yu [1997]描述了一些替代 Le Cam 方法的被动、统计设定。这些备选方案可以（而且经常可以）适应序列设置。

第二章 关键证明过程公式推导

15.1 公式推导

缩写 $\hat{\theta}=\hat{\theta}\big(X_1,\ldots,X_n\big)$ ，同时令 $R(P)=\mathbb{E}_p[d(\hat{\theta},P)]$ 。通过三角不等式得

$$d\Big(\hat{\theta},P_0\Big)+d\Big(\hat{\theta},P_1\Big)\geq d\big(P_0,P_1\big)=\Delta$$

令 $E=\Big\{d\Big(\hat{\theta},P_0\Big)\leq \Delta/2\Big\}$ 在 E^c 上 认 为 $d\Big(\hat{\theta},P_0\Big)\geq \Delta/2$ ，在 E 上 认 为

$$d\Big(\hat{\theta},P_1\Big)\geq \Delta-d\Big(\hat{\theta},P_0\Big)\geq \Delta/2$$